

K-Shortest Path 알고리즘에 기초한 새로운 대역폭 보장 라우팅 알고리즘

정회원 이 준호*, 이 성호**

New Bandwidth Guaranteed Routing Algorithms based on K-Shortest Path Algorithm

Jun-Ho Lee*, Seong-Ho Lee** Regular Members

요약

본 논문에서는 MPLS 네트워크에서 LSP 설정에 적용될 수 있는 새로운 대역폭 보장 온라인 라우팅 알고리즘들을 제안하고 기존의 알고리즘들과 함께 그 성능을 시뮬레이션을 통해서 평가한다. 제안된 방식은 기존의 WSP나 SWP 알고리즘을 K-shortest loopless path 알고리즘에 기초해서 확장시킨 형태를 가진다. 시뮬레이션을 통해서 accepted bandwidth, accepted request number 그리고 average path length라는 성능을 평가한 결과, 모든 노드들이 LSP 설정의 ingress나 egress 노드가 될 수 있는 상황에서 제안된 방식들이 전반적으로 우수한 성능을 보였는데 네트워크 부하가 큰 경우에는 특히, 최소 흙 경로에 기초한 방식들이 좋은 성능을 보임을 알 수 있다.

Key Words : Routing algorithm, MPLS, k-shortest path

ABSTRACT

In this paper, new on-line routing algorithms with a bandwidth constraint are proposed. The proposed algorithms may be used for a dynamic LSP setup in MPLS network. We extend the WSP algorithm, the SWP algorithm and a utilization-based routing algorithm into the proposed algorithms by slightly modified K-shortest loopless path algorithms. The performances such as accepted bandwidth, accepted request number and average path length of the proposed and the previous algorithms are evaluated through extensive simulations. All simulations are conducted under the condition that any node can be an ingress or egress node for a LSP setup. The simulation results show that the proposed algorithms have the good performances in most cases in comparison to the previous algorithms. Under the heavy load condition, the algorithms based on the minimum hop path perform better than any other algorithms.

I. 서론

최근 들어서 고속 인터넷 사용자들의 수가 증가함에 따라서 인터넷을 통한 고속의 데이터 전송 및 QoS(Quality of Service) 보장이 중요한 문제가 되

고 있다. 그런 문제의 해결책으로 Multiprotocol Label Switching(MPLS)[1] 기술이 고려되고 있다. MPLS 네트워크에서는 ingress 노드에서 egress 노드까지 일정한 대역폭을 보장할 수 있는 Label Switched Path(LSP)를 설정할 수 있다. 본 논문에서는 그와 같은 LSP 설정에 적용될 수 있는 온라

* 서울산업대학교 전자정보공학과 (jh@snut.ac.kr), **서울산업대학교 전자정보공학과 (shlee@snut.ac.kr)
논문번호 : 030176-0428, 접수일자 : 2003년 4월 28일

인 라우팅 알고리즘을 제안하고 기존의 알고리즘들과 함께 그 성능을 시뮬레이션을 통해서 평가해 본다. 대역폭 보장은 대역폭을 제한 조건(constraint)로 하는 constraint-based QoS-Routing을 의미한다. 대역폭 외에도 end-to-end delay, jitter 혹은 loss 등이 QoS 제한 조건으로 지정될 수 있다. 하지만, 둘 이상의 제한 조건들을 갖는 문제는 NP-hard로 아직까지 실용적인 알고리즘이 제시되고 있지는 않다. End-to-end delay, jitter 혹은 loss 등의 파라미터는 링크의 대역폭에 비해서 정확한 값을 얻기가 어렵기 때문에 각 QoS 제한 조건을 둘다 대역폭(equivalent bandwidth)으로 변환해서 대역폭 보장 라우팅 알고리즘을 적용하는 방식이 더 실용적이라고 할 수 있다. 따라서, 실용적인 QoS 라우팅 알고리즘의 구현 측면에서 본다면 현재까지의 기술 수준에서는 효율적인 대역폭 보장 라우팅 알고리즘의 제시도 의미를 갖는다고 할 수 있다.

본 논문에서 다룬 라우팅 문제를 좀더 구체적으로 정의하면 다음과 같다. MPLS 네트워크(ATM 네트워크와 같이 임의의 대역폭을 갖는 경로를 설정할 필요가 있는 모든 네트워크)에서 임의의 ingress-egress 노드 쌍과 임의의 요구 대역폭을 갖는 LSP setup 요청이 각 노드로 독립적으로 하나씩 도착하는데 미래의 도착 정보에 대해서는 알 수가 없다. 이런 상황에서 네트워크 자원을 효율적으로 사용하면서 요구된 대역폭을 보장해주는 경로를 찾는 문제라고 할 수 있다. 그와 같은 문제를 다루는 기존의 라우팅 알고리즘들 중에서 본 논문에서 성능 평가에 사용한 대표적인 대역폭 보장 라우팅 알고리즘들을 살펴보면 다음과 같다.

- Widest Shortest Path(WSP)[2]: 최단 경로(shortest path)들이 둘 이상 존재할 경우 경로 대역폭(path bandwidth)(경로를 구성하는 링크들의 residual capacity 중에서 가장 작은 값)이 가장 큰 것을 선택하는 방식으로 DIJKSTRA 알고리즘[8]을 확장해서 구할 수 있다.

기본 개념은 DIJKSTRA 알고리즘을 수행하면서 다음에 marking 할 노드를 고를 때 최소 거리를 갖는 노드를 고르게 되는데 만일 그런 노드들이 여러 개 있는 경우에는 경로 대역폭이 가장 큰 노드를 택하는 것이다.

- Shortest Widest Path(SWP)[3]: widest path(경로 대역폭이 가장 큰 경로)들이 여러 개 존재할 경우

그 중 최소 거리를 갖는 경로를 선택하는 방식으로 기본적인 구현은 다음과 같이 한다. 먼저, widest path를 구한다. 그 widest path의 경로 대역폭이 B라고 하자. 네트워크에서 residual capacity가 B 미만인 모든 링크들을 제거한 후에 DIJKSTRA 알고리즘을 적용해서 최단 경로를 구하면 그것이 shortest widest path가 된다. Widest path를 구하는 것은 거리 함수(distance function)으로 경로 대역폭을 사용해서 DIJKSTRA 알고리즘을 적용하면 된다.

- Minimum Interference Routing Algorithm(MIRA)[4]: 어떤 송/수신 노드 쌍에 대한 경로를 설정할 때 다른 송/수신 노드 쌍들의 미래의 경로 설정에 최소한의 영향(minimum interference)을 미칠 수 있는 경로를 찾자는 것이다.

그림 1에서 각 링크의 residual capacity가 1이라고 가정하고 S3 -> D3 경로를 설정할 때 최소 흡 경로를 사용한다면 1->7->8->5 경로가 선택되는데 그 후에는 S1 -> D1 과 S2 -> D2 사이의 경로 설정이 불가능해 진다. 그러나, 최소 흡 경로가 아닌 1->2->3->4->5 경로를 선택하면 그와 같은 문제가 없게 된다. 이때, 1->2->3->4->5 경로가 1->7->8->5 경로 보다 interference가 작은 경로가 된다. 그러나, 이와 같은 MIRA algorithm은 네트워크의 모든 노드들이 송/수신 노드가 될 수 있는 환경에서는 - 실제 네트워크에서는 이와 같은 가정이 더 현실적이다 - 그 계산의 복잡성에 비해서 성능의 향상이 그리 크지 않게 된다.

그 이유는, 그림 1에서 이제 모든 노드가 송/수신 노드가 될 수 있다고 가정해보자. 그러면, 1->2->3->4->5 경로가 1->7->8->5 경로 보다 interference가 작은 경로가 된다는 보장을 할 수가 없게 된다. 그것은 1->2->3->4->5 경로도 1->2, 1->3, 1->4, 1->5, 2->3 등등의 경로 설정에 영향을 미치기 때문이다. 이런 경우 두 경로 사이의 interference 값의 차이가 그리 크지 않기 때문에 [4]에서 제시된 heuristic 알고리즘으로는 정확히 minimum interference를 구할 수 없고 따라서 [4]의 알고리즘으로 선택된 경로가 계산이 단순한 최소 흡 경로보다 더 효과가 좋다는 보장이 없게 된다. 오히려, 실제 interference를 더 크게 하는 경로를 선택할 수도 있게 된다.

본 논문에서는 [4]에서 제시한 2개의 알고리즘 WSUM-MAX 알고리즘(WSUMMIRA 알고리즘)과 LEX-MAX 알고리즘(LEXMIRA 알고리즘)의 성능

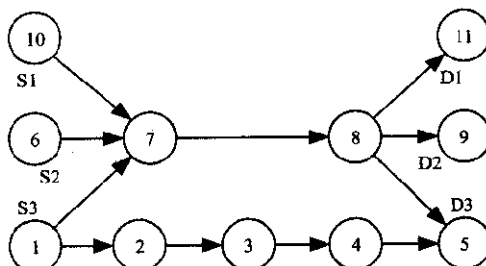


그림 1. MIRA 알고리즘의 기본개념
Fig. 1. basic concept of the MIRA algorithm

을 평가한다. 또한, MIRA 알고리즘의 단점인 계산의 복잡성을 개선하기 위해서 제시된 방식들 중에서 [5]에서 제시된 dynamic online routing algorithm (DORA 알고리즘)과 [6]에서 제시된 2개의 알고리즘 Minimum Interference bottleneck link avoidance algorithm (MIBLASMIRA 알고리즘)과 Minimum Interference Path Avoidance algorithm (MIPASMIRA 알고리즘)의 성능을 평가한다.

본 논문이 대역폭 보장 온라인 라우팅 알고리즘 분야에 기여하는 바는 다음과 같다. 첫째로 현재까지의 대표적인 heuristic 알고리즘들을 넓은 범위의 부하 조건에서 시뮬레이션을 통해서 성능을 비교하는 것이다. 기존의 방식들이 대부분의 경우에 작은 범위의 부하에서 시뮬레이션을 한 결과를 토대로 제안된 방식들의 성능이 우수하다는 주장을 하고 있지만 heuristic 알고리즘의 한계로 인해서 넓은 범위의 부하에 대해서 과연 최적인 단일의 알고리즘이 존재하느냐가 의문이다. 만일, 그와 같은 단일의 알고리즘이 존재하지 않는다면 실제 MPLS 망에 어떤 알고리즘을 적용할 것인가가 문제가 될 것이다. 특정한 부하 상태에 따라서 알고리즘을 달리 적용하는 것은 비현실적이므로 본 논문에서는 가능하다면 실제 하나의 알고리즘을 선택하기 위한 기준을 제시하고자 한다.

둘째로는 앞에서도 언급하였지만 성능이 좋다고 알려진 MIRA 알고리즘이 과연 모든 노드들이 ingress-egress 노드가 될 수 있는 환경에서도 계산의 복잡성을 극복할 만한 성능의 향상이 있을 것인가 하는 의문을 해결하는 것이다.

본 논문의 구성은 다음과 같다. 2장에서 본 논문에서 제안하는 4가지 대역폭 보장 라우팅 알고리즘들에 대해서 설명하고 3장에서는 제안된 알고리즘들과 기존의 알고리즘들의 성능을 시뮬레이션을 통해 평가해 본다. 마지막으로 4장에서 결론과 추후

과제를 보인다.

II. 제안된 대역폭 보장 라우팅 알고리즘

본 논문에서는 K-shortest loopless path 알고리즘 [7]에 기초한 4가지 대역폭 보장 라우팅 알고리즘을 제안한다. 본 논문에서 사용된 K-shortest loopless path 알고리즘은 기존의 방식이 K개의 shortest path들을 구하는데 비해서 본 논문에서는 K번재 path cost를 갖는 모든 경로들을 구하도록 수정하였다. 또한, K-shortest loopless path 알고리즘을 수정한 K-widest loopless path 알고리즘을 함께 사용한다.

먼저, 알고리즘 설명에 사용될 기호들을 정의하면 다음과 같다. $G(N,L)$ 은 네트워크를 나타내는 direct graph이고 $N = \{n_1, \dots, n_M\}$ 은 노드 집합, $L = \{l_{ij}, \dots, l_{pq}\}$ 은 링크 집합이며 M 과 V 는 각각 노드 수와 링크 수를 나타낸다. 노드 i 에서 노드 j 로의 링크는 (i,j) 혹은 l_{ij} 로도 표시하며 일반적으로 $l_{ij} \neq l_{ji}$. $R = \{r_{ij}\}$ 는 각 링크의 residual capacity 집합이고 $C = \{c_{ij}\}$ 는 각 링크의 capacity 집합이다. $W = \{w_{ij}\}$ 는 각 링크의 weight 집합으로 w_{ij} 는 링크 l_{ij} 의 weight 값을 나타내며 각 링크의 delay 값이나 utilization 값으로 설정될 수 있다. 또한, 모든 링크들에 대하여 $w_{ij} = 1$ 로 하면 minimum hop loopless path를 구하게 된다. 노드 s 에서 노드 d 로의 shortest loopless path는 $p(s,d)$ 로 표현하며 알고리즘 수행에 따라서 k번째 계산된 것은 $p_k(s,d)$ 와 같이 표시한다. $M(p_k(s,d))$ 는 $p_k(s,d)$ 에 포함된 모든 노드들의 집합, $A(p_k(s,d))$ 는 $p_k(s,d)$ 에 포함된 모든 링크들의 집합을 각각 나타낸다. Path $p_k(s,d)$ 에는 다음과 같은 두 가지 방식으로 경로 길이(path length)를 할당한다.

$$L1(p_k(s,d)) = \sum w_{ij}, \forall (i,j) \in A(p_k(s,d)) : \text{additive path length}$$

$$L2(p_k(s,d)) = \min\{w_{ij}\}, \forall (i,j) \in A(p_k(s,d)) : \text{bottleneck path length}$$

비슷하게 path $p_k(s,d)$ 의 경로 대역폭 $B(p_k(s,d))$ 를 다음과 같이 정의한다.

$$B(p_k(s,d)) = \min\{r_{ij}\}, \forall (i,j) \in A(p_k(s,d))$$

경로 $p_k(s,d)$ 의 deviation 노드는 $d(p_k(s,d))$ 로 표현되며 경로 $\text{sub}_{p_k(s,d)}(a,b)$ 는 경로 $p_k(s,d)$ 에 포함되어 경로 $p_k(s,d)$ 와 노드 a 에서 노드 b 까지 일치하는 경로를 나타낸다. 어느 한 경로의 시작 노드와 다른 경로의 마지막 노드가 동일한 경우 두 경로를 연결한 새로운 경로를 정의할 수 있는데 다음과 같이 표현한다.

$$p(s,d) = p(s,a) + p(a,d)$$

이것은 경로 $p(s,a)$ 의 마지막 노드(node a)와 경로 $p(a,d)$ 의 시작 노드(node a)가 동일한 경우로 $p(s,a) + p(a,d)$ 는 $p(s,a)$ 의 시작 노드 s에서 $p(a,d)$ 의 마지막 노드 d까지의 새로운 경로 $p(s,d)$ 가 노드 s에서 노드 a까지는 경로 $p(s,a)$ 와 같고 노드 a에서 노드 d까지는 경로 $p(a,d)$ 와 함께 구성된다는 것을 의미한다. 경로 $p(s,d-1)$ 은 경로 $p(s,d)$ 에 포함되어 경로 $p(s,d)$ 와 노드 s에서 노드 d 바로 전의 노드까지 동일한 경로를 의미하며 경로 p_k 에 속한 i번째 노드는 n_i^k 로 표시한다.

이상의 기호들을 사용해서 제안된 알고리즘을 설명하면 다음과 같다.

1. KShortestPath Algorithm (K-shortest loopless path Algorithm)

Input: G(N,L), source node s, destination node d, link weight W, K

Output: shortest path들의 list KShortestPaths

Algorithm:

try to find the first shortest path $p_1(s,d)$ by Dijkstra algorithm. If there is no path, set KShortestPaths = null and return

set ShortestPathLength = L1($p_1(s,d)$)

insert the $p_1(s,d)$ into the priority queue CandidatePaths

set PathLevel = 1

set k = 1

while(the CandidatePaths is not empty)

{

 Remove the first path element $p(s,d)$ from the CandidatePaths and set $p_k(s,d) = p(s,d)$

 if($L1(p_k(s,d)) > \text{ShortestPathLength}$)

 // the current path has a greater path length
 // than the previous one

```

set ShortestPathLength = L1( $p_1(s,d)$ )
increment PathLevel by 1
if( PathLevel > K )
    return // we found all the Kth shortest
           // loopless paths
}
insert the  $p_k(s,d)$  into the output list
KShortestPaths
all nodes in  $\text{sub}_{p_k(s,d)}(s,d(p_k)-1)$  are removed
temporarily
remove arcs starting in  $d(p_k)$  which belong to
the other shortest paths already determined
for( all nodes  $n_i^k$  in  $\text{sub}_{p_k(s,d)}(d(p_k),d-1)$  )
{
    remove arc  $(n_i^k, n_{i+1}^k)$ 
    try to find a shortest path  $p(n_i^k, d)$  by
    DIJKSTRA algorithm
    if( found no shortest path ) continue with
        next  $n_i^k$  in for loop
    // we found another shortest path
    set  $p(s,d) = \text{sub}_{p_k(s,d)}(s,n_i^k) + p(n_i^k, d)$ 
    insert the  $p(s,d)$  into the CandidatePaths
    remove  $n_i^k$ 
}
restore all the removed nodes and edges
set k = k + 1
|
```

2. KWidestPath Algorithm (K-Widest loopless path Algorithm)

Input: G(N,L), source node s, destination node d, link residual capacity R, K

Output: widest path들의 list

KWidestPathsAlgorithm:

K-Widest loopless path 알고리즘은 경로 길이 계산을 link residual capacity r_{ij} 를 사용한 bottleneck path length $L2(p_k(s,d))$ 로 하고 두 노드 사이의 경로를 구할 때는 widest path 알고리즘을 사용한다는 점 외에는 K-shortest loopless path 알고리즘과 동일하다.

이상의 두 알고리즘을 기초로 해서 본 논문에서는 Widest K-Min-Hop(WKMH) path, Shortest K-Widest(SKW) path, Min Utilization K-Min-Hop(MUKMH) path, Random K-Min-Utilization-Hop(RKMUH) path라는 4가지 알고리즘을 제안한다.

1. WidestKMinHopPaths Algorithm (WKMH path Algorithm)

Input: G(N,L), source node s, destination node d, link weight W, link residual capacity R, K, requested bandwidth B

Output: B이상의 path bandwidth를 갖는 s에서 d까지의 path

Algorithm:

remove all links (i,j) if $r_{ij} < B$

set $w_{ij} = 1, \forall (i,j) \in L$

get a shortest path list by KShortestPath algorithm with the parameter K

find a path which has a maximum path bandwidth in the shortest path list

restore the removed links

if a path is found, update the link residual capacity along the path

WKMH path 알고리즘에서 link weight 값을 링크의 delay로 설정하면 최소 흡 대신에 최소 end-to-end delay를 갖는 경로들 중에서 그 경로 대역폭이 가장 큰 것을 찾게 된다. 그런 경로가 여러 개 있는 경우에는 임의로 선택된다. WKMH path 알고리즘은 기존의 WSP 알고리즘을 확장시킨 것으로 K번째 크기의 최단 경로들 중에서도 최종 경로를 선택함으로써 local search로 인한 단점 - 현재 상태에서는 최적이지만 미래의 상태에서는 그렇게 되지 못하는 것을 극복하기 위한 것이다. 그러나, 모두 heuristic 알고리즘이기 때문에 항상 WKMH path 알고리즘이 WSP 알고리즘에 비해서 성능이 좋아지는 것은 아니다. 다만, heuristic 하게 그럴 가능성이 커지도록 한 것이다.

2. ShortestKWidestPaths Algorithm (SKW path Algorithm)

Input: G(N,L), source node s, destination node d, link weight W, link residual capacity R, K, requested bandwidth B

Output: B이상의 path bandwidth를 갖는 s에서 d까지의 path

Algorithm:

remove all links (i,j) if $r_{ij} < B$

get a widest path list by KWidestPath algorithm with the parameter K

set $w_{ij} = 1, \forall (i,j) \in L$

find a path which has a minimum hop in the widest path list with respect to w_{ij}

restore the removed links

if a path is found, update the link residual capacity along the path

SKW path 알고리즘은 SWP 알고리즘을 확장시킨 것으로 기본 개념은 WKMH path 알고리즘과 유사하다.

3. MinUtilizationKMinHopPaths Algorithm (MUKMH path Algorithm)

Input: G(N,L), source node s, destination node d, link weight W, link residual capacity R, link capacity C, K, requested bandwidth B

Output: B이상의 path bandwidth를 갖는 s에서 d까지의 path

Algorithm:

remove all links (i,j) if $r_{ij} < B$

set $w_{ij} = 1, \forall (i,j) \in L$

get a shortest path list by KShortestPath algorithm with the parameter K

find a path which has a minimum path utilization in the shortest path list

restore the removed links

if a path is found, update the link residual capacity along the path

MUKMH path 알고리즘은 K번째까지의 최단 경로들 중에서 path utilization 값이 가장 작은 것을 선택하는 방식으로 경로 $p_k(s,d)$ 의 path utilization $U(p_k(s,d))$ 는 다음과 같이 정의한다.

$$U(p_k(s,d)) = \sum \{(c_{ij} - r_{ij})/c_{ij}\}, \forall (i,j) \in A(p_k(s,d))$$

4. RandomKMinUtilizationHopPaths Algorithm (RKMUH path Algorithm)

Input: G(N,L), source node s, destination node d, link weight W, link residual capacity R, link capacity C, K, requested bandwidth B

Output: B이상의 path bandwidth를 갖는 s에서 d까지의 path

Algorithm:

remove all links (i,j) if $r_{ij} < B$

set $w_{ij} = (c_{ij} - r_{ij})/c_{ij}, \forall (i,j) \in L$

get a shortest path list by KShortestPath algorithm with the parameter K

randomly choose a path from the shortest path list

restore the removed links

if a path is found, update the link residual capacity along the path

RKMUH path 알고리즘은 경로 길이를 link utilization의 합으로 계산하는 것으로 모든 링크들의 utilization이 동일하다면 RKMUH path 알고리즘은 최소 흡 경로를 찾는 것이 된다. RKMUH path 알고리즘은 heuristic 하게 흡 수가 작으면서도 link utilization이 작은 링크들로 구성되는 경로를 찾고자 하는 것이다.

III. 성능 평가

이번 장에서는 기존의 대역폭 보장 알고리즘들과 본 논문에서 제안된 대역폭 보장 알고리즘들의 성능을 시뮬레이션을 통해서 평가해본 결과에 대해서 설명한다.

성능평가의 대상으로 irregular topology 2개와 1개의 regular topology 등 모두 3개의 네트워크를 사용하였다. 그림 2의 네트워크[6]는 MIRA 알고리즘의 성능 평가에 사용된 것으로 각 링크는 실제로는 두 개의 서로 다른 방향을 갖는 링크를 나타내며 굵은 표시가 된 것은 다른 일반적인 링크들에 비해서 link capacity가 큰 링크들을 나타낸다. 그림 3은 미국의 NSFnet T1 backbone 네트워크와 유사한 구조를 갖는 예이고 그림 4는 regular topology의 예로 4x4 mesh 네트워크를 나타낸다. 모든 네트워크 환경에 대해서 모든 노드들이 LSP의 ingress 노드와 egress 노드가 될 수 있다고 가정하였으며 그림 2의 네트워크에서는 노드 수가 15이므로 전체 ingress-egress 쌍의 개수는 $15 \times 14 = 210$ 개가 되며 그림 3과 4의 네트워크에서는 노드 수가 16이므로 전체 ingress-egress 쌍의 개수는 $16 \times 15 = 240$ 개가 된다.

시뮬레이션은 동적인 트래픽 환경을 고려하였으며 각 노드로 평균값이 λ 인 Poisson process에 따라서 LSP setup 요구가 도착한다고 가정하였다. LSP setup 요구의 egress 노드는 요구가 들어온 노드를 제외한 다른 노드들 중에서 동일한 확률로 하나가 선택된다. 요구된 LSP setup의 대역폭은 1,2,3 중에

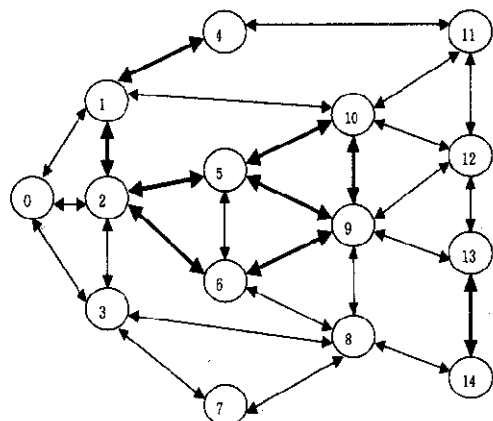


그림 2. 시뮬레이션에 사용된 네트워크 1
Fig. 2. Test Network 1

서 동일한 확률로 선택된다. 라우팅에 성공한 LSP setup이 네트워크에 머무는 시간 - LSP holding time은 평균값이 $1/\mu$ 인 지수분포를 갖는다고 가정하였으며 (λ/μ) 값을 100에서 490까지 10 단위로 변화시키면서 시뮬레이션을 수행하였다.

시뮬레이션 수행시 그림 2의 네트워크에서는 일반 링크의 용량(capacity)은 12, 굵게 표시된 링크의 용량은 48로 가정하였으며 그림 3과 4의 네트워크에서는 모든 링크의 용량은 48로 가정하였다. 이것은 실제 링크의 용량을 나타내는 것은 아니고 LSP setup 요구가 많이 차단되는 영역에서의 성능을 시뮬레이션 하기 위해서 링크의 residual capacity가 적게 남은 상태에서 성능 측정을 시작한 것을 의미한다.

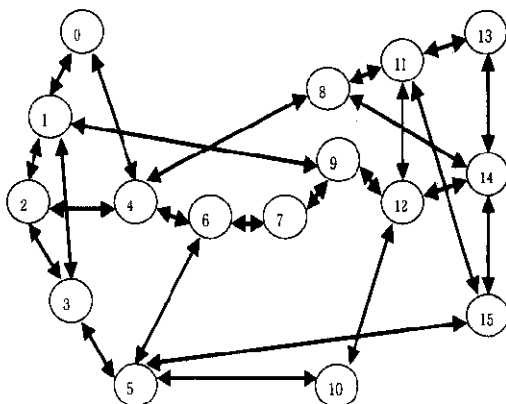


그림 3. 시뮬레이션에 사용된 네트워크 2
Fig. 3. Test Network 2

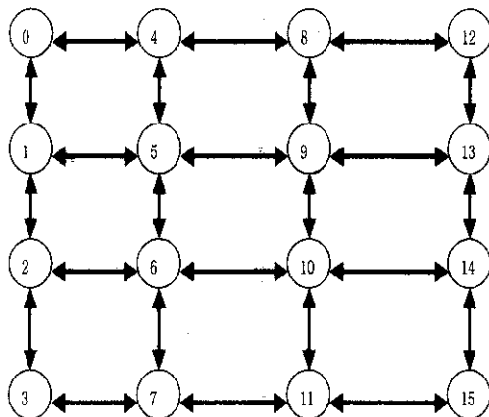


그림 4. 시뮬레이션에 사용된 네트워크 3

Fig. 4. Test Network 3

시뮬레이션을 위해서 모두 16개의 알고리즘들을 구현하였다. 각 알고리즘에서, shortest는 minimum hop 을 widest 는 경로 대역폭을 기준으로 하였다. 따라서, 최단 경로 알고리즘(SP 알고리즘)은 최소 흡 경로를 구하게 된다. SP, SWP 그리고 WSP 알고리즘의 경우에는 별도의 대역폭 보장 방식이 존재하지 않기 때문에 알고리즘 실행 전에 요구되는 LSP 대역폭 보다 작은 link residual capacity를 갖는 링크를 네트워크에서 제외시키고 알고리즘을 실행시키는 방법을 사용하였다. 따라서 본 논문에서 고려하는 모든 알고리즘은 다 adaptive routing 알고리즘이라고 할 수 있다.

제안된 알고리즘들에서 K 값은 1과 2인 두 경우를 고려하였으며 알고리즘 이름 뒤에 K1, K2를 붙여서 각각의 경우를 구분한다. 예를 들어서, WKMHK1은 K = 1인 WKMH 알고리즘을 나타낸다. K 값이 1인 경우에는 하나의 최적 경로를 사용한다는 것이 아니라 앞에서 설명한 것처럼 모든 최적 경로를 사용한다는 의미가 된다. 마찬가지로 K 값이 2인 경우에도 2개의 path를 중에서 하나를 선택한다는 것이 아니라 각 기준에 따라서 모든 최적의 경로들과 그 바로 다음 단계의 모든 경로들을 구해서 그 중에서 하나의 경로를 선택한다는 것을 의미한다. DORA 알고리즘의 경우에는 [5]에서 성능이 가장 좋은 경우인 BWP = 0.9를 사용하였다.

시뮬레이션을 통해서 각 알고리즘별로 accepted bandwidth, accepted request number, average path hop이라는 3가지 성능 평가 지수를 측정하였다. 먼저, accepted bandwidth는 라우팅에 성공한 모든

LSP들의 대역폭을 더한 값을 나타내고 accepted request number는 라우팅에 성공한 총 LSP 개수를 마지막으로 average path hop은 라우팅에 성공한 모든 LSP들의 평균 hop 수로 계산된다.

표 1은 그림 2의 네트워크 1에서 네트워크 부하 (λ/μ) 값이 100에서 490까지 변할 때 각 알고리즘 별로 accepted bandwidth를 보여준다. 표 1에서 알고리즘의 명칭을 다음과 같이 측약해서 표시하였다. WK1 = WKMHK1, WK2 = WKMHK2, RK1 = RKMUHK1, RK2 = RKMUHK2, SK1 = SKWK1, SK2 = SKWK2, MK1 = MUKMHK1, MK2 = MUKMHK2, DR = DORA, WMR = WSUMMIRA, LMR = LEXMIRA, PSM = MIPASMIRA, BSM = MIBLASMIRA. 부하를 x 축으로 accepted bandwidth를 y 축으로 하는 그래프의 형태로 결과를 표시하는 것이 일반적인 방식이겠지만 본 논문에서는 총 16개의 알고리즘들을 고려하였고 부하 값이 큰 상황에서 알고리즘들의 성능 차이가 크지 않았기 때문에 그래프 상의 그림으로는 각 알고리즘의 성능을 비교하기가 쉽지 않기 때문에 표 1과 같이 결과를 제시하였다.

표 1의 결과에서 첫 번째 행은 부하를 나타내고 그 밑의 두 열들이 해당 부하에 대한 결과를 나타낸다. 부하가 100일 때의 결과를 보면 WKMHK1, WSP, RKMUHK1, SKWK2, MUKMHK2, MUKMHK1, SP, WKMHK2, SWP, DORA, WSUMMIRA, LEXMIRA, MIPASMIRA, SKWK1, MIBLASMIRA, RKMUHK2 순으로 accepted bandwidth 값이 감소하는 것을 알 수 있다.

표 1을 통해서 앞에서 예측한 것처럼 모든 부하에 대해서 계산이 복잡한 MIRA 계열 즉, WSUMMIRA, LEXMIRA, MIBLASMIRA, MIPASMIRA 알고리즘이 가장 좋은 성능을 내지는 않는다는 것을 알 수 있다. 그것은 앞에서 언급한 것처럼 모든 노드들 사이에서 LSP가 설정될 수 있는 상황에서는 특별히 interference가 작은 경로가 존재할 가능성이 적으며 따라서 모든 노드들이 ingress-egress 노드 쌍이 되는 경우에는 MIRA 계열 알고리즘들의 성능이 하나의 ingress-egress 노드 쌍만을 고려하는 알고리즘들 보다 향상될 개연성이 적기 때문이다.

기존의 방식들[3][4][5][6]의 동적인 환경에서의 시뮬레이션 결과들을 보면 모두 작은 범위의 네트워크 부하에 대해서만 시뮬레이션을 수행하였고 그

범위 안의 부하에서 제안된 알고리즘들의 성능이 우수하다는 결론을 제시하고 있다.

표 1. 부하 100 - 490에 대한 Accepted bandwidth - test network 1 (계속)

Table 1. Accepted bandwidth between load 100 and 490 - test network 1

100	110	120	130	140
WK1 37259	WK1 34890	WK1 32440	MK1 30339	RK1 28693
WSP 37189	MK1 34658	WSP 32392	RK1 30252	WSP 28613
RK1 37170	SP 34553	MK2 32354	WSP 30227	WK1 28537
SK2 37056	WSP 34549	MK1 32303	SK2 30220	SK2 28530
MK2 37023	SK2 34541	SK2 32288	MK2 30091	MK2 28357
MK1 37800	MK2 34393	SP 32210	WK2 29974	WK2 28329
SP 36968	RK1 34364	RK1 32191	WK1 29968	MK1 28309
WK2 36799	WK2 34249	SK1 31648	WMR 29923	SP 28279
SWP 36632	WMR 33871	WMR 31642	SP 29841	WMR 28270
DR 36461	DR 33799	SWP 31608	SK1 29881	SK1 28147
WMR 36304	SWP 33785	WK2 31536	DR 29760	DR 27958
LMR 36234	SK1 33718	DR 31521	LMR 29617	LMR 27911
PSM 36044	LMR 33515	LMR 31225	SWP 29528	SWP 27882
SK1 36042	PSM 33440	PSM 31204	BSM 29213	PSM 27467
BSM 35859	BSM 33261	BSM 31141	PSM 29120	BSM 27444
RK2 32533	RK2 30366	RK2 28754	RK2 26634	RK2 25361
	36886	34541	32116	30036
				28486

그러나 본 논문에서는 부하의 범위를 보다 넓게 변화시키면서 시뮬레이션을 수행하였고 그 결과인 표 1을 보면 모든 경우에 최적인 단일의 알고리즘이 존재하지 않는다는 것을 알 수 있다.

표 1. 부하 100 - 490에 대한 Accepted bandwidth - test network 1 (계속)

Table 1. Accepted bandwidth between load 100 and 490 - test network 1 (continued)

150	160	170	180	190
MK1 27221	MK1 25769	RK1 24857	SK2 23399	SP 22567
SK2 27190	WSP 25755	SK2 24680	MK2 23374	WSP 22538
WK1 27000	SK2 25657	SP 24498	WK1 23335	MK1 22497
WSP 26944	RK1 25600	WK2 24447	WSP 23312	SK2 22485
SP 26913	MK2 25547	WSP 24419	SP 23295	MK2 22439
MK2 26912	WK2 25479	MK1 24368	RK1 23220	WK1 22386
WK2 26904	WK1 25463	MK2 24322	MK1 23158	SK1 22279
RK1 26901	SP 25422	WK1 24291	SK1 23132	RK1 22269
WMR 26731	SWP 25420	WMR 24242	WMR 23089	WK2 22145
SWP 26579	WMR 25298	DR 24085	WK2 23050	DR 22037
SK1 26505	SK1 25060	SK1 24038	SWP 23022	SWP 22005
DR 26411	BSM 25053	SWP 23930	LMR 22835	LMR 21974
LMR 26208	DR 25052	PSM 23857	DR 22758	WMR 21930
PSM 26091	LMR 24844	LMR 23778	BSM 22709	BSM 21885
BSM 25934	PSM 24669	BSM 23732	PSM 22498	PSM 21798
RK2 24147	RK2 23109	RK2 22015	RK2 20905	RK2 19997
	26949	25511	24608	23165
				22341

이것은 어떻게 보면 자연스러운 결과인데 그 이유

표 1. 부하 100 - 490에 대한 Accepted bandwidth - test network 1 (계속)

Table 1. Accepted bandwidth between load 100 and 490 - test network 1 (continued)

200	210	220	230	240
WK1 21720	WK1 20929	SK2 20233	SK2 19413	MK2 18884
MK1 21710	WSP 20859	WK1 20076	WSP 19391	SK2 18778
MK2 21655	SP 20809	SP 20026	MK1 19371	WSP 18712
RK1 21625	MK1 20711	MK2 20007	SP 19278	WK2 18653
SP 21491	MK2 20703	RK1 20000	MK2 19223	MKT 18610
SK2 21468	RK1 20672	WK2 19988	WMR 19195	RK1 18579
WSP 21464	SK2 20579	MK1 19955	WK1 19167	SP 18575
SWP 21315	DR 20513	WSP 19779	WK2 19164	SWP 18543
LMR 21138	SK1 20512	SK1 19734	SK1 19134	WK1 18432
DR 21137	WMR 20500	DR 19711	RK1 19112	WMR 18390
SK1 21127	WK2 20426	LMR 19665	SPW 19107	SK1 18371
WMR 21089	LMR 20404	SWP 19588	DR 18901	DR 18287
WK2 21022	SWP 20376	WMR 19584	LMR 18832	LMR 18200
PSM 20916	PSM 20189	BSM 19481	BSM 18783	PSM 18077
BSM 20798	BSM 20135	PSM 19447	PSM 18618	BSM 18011
RK2 19461	RK2 18747	RK2 18062	RK2 17547	RK2 16928
	21503	20720	20031	19219
				18695

는 모든 알고리즘이 heuristic하기 때문에 비록 동일한 네트워크 환경이라도 모든 노드들이 ingress-egress 노드 쌍이 될 수 있는 경우에는 부하에 따라서 약간씩 그 결과가 달라질 수 있기 때문이다.

표 1. 부하 100 - 490에 대한 Accepted bandwidth - test network 1 (계속)

Table 1. Accepted bandwidth between load 100 and 490 - test network 1 (continued)

250	260	270	280	290
WMR 18215	WK1 17800	MK1 17280	MK2 16711	WSP 16130
WSP 18183	WSP 17736	MK2 16999	WK1 16638	WK1 16101
SK2 18128	MK1 17622	RK1 16985	SK2 16580	SP 16066
MK1 18074	MK2 17478	WSP 16977	SP 16575	MKT 15972
SP 18041	SK2 17438	SP 16963	WSP 16469	SK1 15868
MK2 17973	SK1 17385	WK2 16956	MK1 16420	RK1 15864
WK1 17963	RK1 17313	SK2 16941	RK1 16404	MKT 15822
WK2 17954	WK2 17300	WK1 16784	SK1 16397	WK2 15793
LMR 17952	WMR 17254	WMR 16720	SWP 16369	SK2 15780
RK1 17910	SWP 17245	DR 16626	DR 16320	DR 15697
SK1 17839	PSM 17229	SK1 16594	WMR 16315	LMR 15670
SWP 17801	SP 17202	SWP 16587	LMR 16208	PSM 15665
DR 17705	DR 17092	LMR 16585	WK2 16189	SWP 15649
BSM 17705	LMR 17051	BSM 16450	BSM 16109	WMR 15617
PSM 17589	BSM 16896	PSM 16172	PSM 16027	BSM 15582
RK2 16277	RK2 16014	PSM 15541	RK2 15145	RK2 14811
	16033	17622	17107	16544
				15969

모든 부하에 대해서 가장 성능이 좋은 하나의 알고리즘이 존재하지 않기 때문에 16개의 알고리즘들의 성능을 비교하거나 실제로 사용할 알고리즘을 선택

표 1. 부하 100 - 490에 대한 Accepted bandwidth - test network 1 (계속)

Table 1. Accepted bandwidth between load 100 and 490 - test network 1 (continued)

300	310	320	330	340
WK1 15676	WSP 15267	SP 15113	WK1 14701	SP 14422
MK1 15647	WMR 15224	WSP 14962	WSP 14684	MK1 14359
WSP 15646	MK2 15206	WK1 14936	WK2 14639	WK1 14253
WK1 15609	RK1 15194	MK1 14888	RK1 14624	RK1 14197
MK2 15594	WK2 15190	MK2 14816	SP 14548	WSP 14150
RK1 15581	MK1 15189	SK1 14863	WMR 14532	SK1 14128
SP 15521	SK1 15119	WMR 14786	SK2 14525	MK2 14119
WMR 15511	WK1 15117	SK2 14738	MK1 14449	SW 14114
MK2 15489	WSP 15089	RK1 14734	DR 14399	DR 14337
SWP 15484	SP 15064	DR 14706	MK2 14396	WK2 14022
SK1 15483	SK2 15083	WK2 14664	BSM 14244	SK1 13985
DR 15442	LMR 15044	PSM 14598	LMR 14224	WMR 13894
LMR 15407	DR 15036	BSM 14579	SWP 14171	PSM 13779
BSM 15237	PSM 15009	SWP 14577	PSM 14104	LMR 13749
PSM 14978	BSM 14769	LMR 14484	SK1 14022	BSM 13700
RK2 14247	RK1 14042	RK2 13691	RK2 13475	RK2 13016
15519	15114	14962	14534	14278

해야 할 때 사용할 수 있는 새로운 성능 평가 지수가 필요한데 본 논문에서는 다음과 같은 방식으로 계산되는 최적 결과 비율(best results ratio)를 사용하였다.

표 1. 부하 100 - 490에 대한 Accepted bandwidth - test network 1 (계속)

Table 1. Accepted bandwidth between load 100 and 490 - test network 1 (continued)

350	360	370	380	390
WSP 14036	WSP 13691	MK2 13345	WK2 13050	WSP 12831
DR 13917	SP 13601	SK2 13319	SP 13015	SK2 12809
WK1 13885	WK1 13593	WSP 13297	MK1 13000	RK1 12798
MK1 13799	MK2 13462	SWP 13264	WSP 12960	SP 12767
RK1 13793	SK2 13454	RK1 13230	RK1 12933	MK1 12696
SWP 13779	RK1 13439	LMR 13215	WMR 12922	MK2 12677
SK2 13773	LMR 13416	WK1 13187	WK1 12901	WK2 12668
SK1 13770	MK1 13410	SP 13137	SK2 12860	WK1 12556
SP 13757	SWP 13398	WK2 13001	MK2 12844	SK1 12524
WK2 13755	DR 13396	MK1 12844	SWP 12692	DR 12521
MK2 13781	SK1 13595	BSM 13442	LMR 12682	BSM 12586
LMR 13708	WK2 13355	DR 13034	DR 12666	LMR 12581
BSM 13616	WMR 13334	SK1 12946	SK1 12654	WMR 12463
WMR 13611	BSM 13225	PSM 12949	BSM 12603	SWP 12417
PSM 13540	PSM 13115	WMR 12949	PSM 12579	PSM 12405
RK2 12711	RK1 12493	RK2 12365	RK2 11967	RK2 11790
13896	13554	13212	12920	12703

먼저 각 부하별로 최적의 결과를 기준으로 그 값의 1% 이내의 결과를 갖는 알고리즘들을 찾아서 그 알고리즘들을 해당 부하에서 최적 결과(best result)를 갖는 알고리즘들이라고 표시한다.

표 1. 부하 100 - 490에 대한 Accepted bandwidth - test network 1 (계속)

Table 1. Accepted bandwidth between load 100 and 490 - test network 1 (continued)

400	410	420	430	440
WK1 12319	SK2 12352	WK1 12078	WK1 11847	WK1 11629
SK2 12309	MK1 12271	WK2 12032	WSP 11762	WK2 11603
MK1 12490	WSP 12210	MK1 12012	SP 11741	RK1 11593
SK1 12438	SP 12189	SK2 11977	SK2 11737	MK1 11511
SP 12359	BSM 12181	RK1 11858	MK1 11724	SK2 11508
WMR 12359	SK1 12160	WSP 11846	SWP 11695	SP 11496
SWP 12357	PSM 12119	MK2 11825	RK1 11686	SWP 11485
MK2 12346	SWP 12116	SP 11809	WMR 11647	MK2 11453
WK2 12329	WK1 12102	WMR 11792	WK2 11638	PSM 11384
WSP 12324	MK2 12054	SWP 11796	DR 11619	WSP 11378
RK1 12269	RK2 12033	SK1 11772	BSM 11544	DR 11376
PSM 12275	LMR 12031	DR 11748	PSM 11540	LMR 11372
DR 12265	WK2 12018	BSM 11669	LMR 11525	WMR 11363
BSM 12232	WMR 11968	LMR 11652	MK2 11521	SK1 11247
LMR 12030	DR 11928	PSM 11593	SK1 11499	BSM 11231
RK2 11425	RK2 11534	RK2 10974	RK2 10956	RK2 10618
12394	12228	11957	11729	11513

모든 부하에 대해서 최적 결과를 갖는 알고리즘들을 찾은 후에 각 알고리즘 별로 최적 결과를 갖는 알고리즘으로 선택된 총 회수를 구해서 그 값을 총 부하의 개수로 나누면 그 값이 해당 알고리즘의 최적 결과 비율이 된다.

표 1. 부하 100 - 490에 대한 Accepted bandwidth - test network 1 (계속)

Table 1. Accepted bandwidth between load 100 and 490 - test network 1 (continued)

450	460	470	480	490
WK1 11381	SWP 11172	WK1 11086	MK1 10955	RK1 10702
MK1 11374	SP 11140	MK1 10955	WSP 10878	WK1 10683
SP 11371	MK1 11136	MK2 10920	DR 10827	MK1 10644
SK2 11357	WK1 11118	WMR 10913	WMR 10810	WSP 10640
MK2 11347	MK2 11114	SK1 10908	WK1 10787	SP 10614
SWP 11257	WSP 11086	SP 10899	WK2 10756	WMR 10613
WK2 11250	DR 11059	SK2 10890	SP 10732	SK2 10606
WMR 11215	WK2 11033	RK1 10879	BSM 10701	MK2 10604
WSP 11209	SK1 11019	WK2 10842	SK2 10659	SWP 10602
RK1 11208	WMR 11016	SWP 10813	MK2 10659	WK2 10574
BSM 11199	SK2 10994	PSM 10791	SWP 10629	LMR 10507
SK1 11197	PSM 10730	DR 10784	SK1 10600	SK1 10503
LMR 11196	BSM 10927	VSP 10782	RK1 10560	DR 10485
DR 11165	RK1 10901	LMR 10667	LMR 10525	PSM 10474
PSM 11130	LMR 10774	BSM 10618	PSM 10486	BSM 10423
RK2 10593	RK2 10274	RK2 10251	RK2 10000	RK2 9953
11267	11060	10975	10845	10595

이와 같은 최적 결과 비율은 알고리즘의 선별 기준으로 사용할 수 있다. 즉, 최적 결과 비율이 클수록 많은 부하에서 좋은 성능을 갖는 알고리즘을 나타낸다.

낸다고 할 수 있다.

표 2. 최적 결과 비율 - test network 1
Table 2. Best results ratio - test network 1

Algorithm	Accepted BW	Algorithm	Avg. path hop	Algorithm	Accepted req. num.
WSP	0.66	WSP	0.78	WK1	0.78
WK1	0.63	WK1	0.76	WSP	0.73
MK2	0.59	MK1	0.73	MK1	0.66
MK1	0.59	RK1	0.63	DR	0.63
SP	0.51	SP	0.63	SK2	0.59
RK1	0.39	SK2	0.63	MK2	0.56
MK2	0.39	MK2	0.49	RK1	0.51
WK2	0.17	WK2	0.24	SP	0.51
WMR	0.12	SK1	0.17	WK2	0.44
SWP	0.07	SWP	0.07	SWP	0.32
SK1	0.05	WMR	0.07	WMR	0.32
DR	0.02	DR	0.02	SK1	0.27
LMR	0.02	LMR	0.00	BSM	0.07
BSM	0.00	BSM	0.00	LMR	0.07
PSM	0.00	PSM	0.00	PSM	0.05
RK2	0.00	RK2	0.00	RK2	0.00

여기서 최적의 값 하나가 아니라 최적의 1% 이내의 값들을 기준으로 한 것은 시뮬레이션 오차를 고려한 것으로 1% 이외의 기준이 적용될 수 있을 것이다. 여기서는 한 예로 1%를 적용한 것이다.

표 3. 최적 결과 비율 - test network 2
Table 3. Best results ratio - test network 2

Algorithm	Accepted BW	Algorithm	Avg. path hop	Algorithm	Accepted req. num.
MK2	0.80	MK2	0.85	MK2	0.88
WK1	0.68	WK1	0.76	RK1	0.83
MK1	0.66	WSP	0.76	MK1	0.76
RK1	0.63	RK1	0.76	WK1	0.76
SP	0.61	SP	0.76	WSP	0.73
SK2	0.59	MK1	0.73	SK2	0.71
WSP	0.59	SK2	0.66	WK2	0.58
WK2	0.39	WK2	0.44	SP	0.54
WMR	0.02	SK1	0.02	DR	0.41
SK1	0.00	SWP	0.02	WMR	0.15
RK2	0.00	DR	0.02	SK1	0.10
SWP	0.00	WMR	0.02	SWP	0.07
DR	0.00	RK2	0.00	LMR	0.02
LMR	0.00	LMR	0.00	RK2	0.00
PSM	0.00	PSM	0.00	PSM	0.00
BSM	0.00	BSM	0.00	BSM	0.00

예를 들어서 표 1에서 부하가 100인 경우를 살펴보자. 최적 값은 WKMHK1 알고리즘의 37259이고 그 값의 1% 이내에 있는 알고리즘들은 $37259 \times (1-0.01) = 36886.41$ 보다 큰 값을 갖는 알고리즘들 즉, WKMHK1, WSP, RKMUHK1,

SKW2, MUKMHK2, MUKMHK1, SP 알고리즘이들이 부하 100에서 최적 결과를 갖는 알고리즘이 된다. 이와 같은 과정을 부하 110, ..., 490까지 반복해서 구하면 모든 부하들에 대한 최적 결과 알고리즘들을 구할 수 있다. 그 후에 모든 알고리즘들에 대해서 각 알고리즘별로 다시 부하 100부터 490까지 최적 결과 알고리즘에 속하는 총 회수를 구해서 전체 부하 개수 40로 나누면 표 2와 같은 결과를 얻을 수 있다.

표 4. 최적 결과 비율 - test network 3

Table 4. Best results ratio - test network 3

Algorithm	Accepted BW	Algorithm	Avg. path hop	Algorithm	Accepted req. num.
WSP	0.76	WSP	0.85	RK1	0.83
RK1	0.68	RK1	0.80	WSP	0.76
WK1	0.66	MK2	0.78	MK2	0.73
WK2	0.66	MK1	0.76	MK1	0.73
MK2	0.61	WK1	0.76	SK2	0.68
MK1	0.61	WK2	0.76	WK1	0.61
SK2	0.54	SK2	0.73	WK2	0.61
SP	0.44	SP	0.54	DR	0.56
WMR	0.05	SWP	0.05	SP	0.24
SK1	0.05	WMR	0.05	SK1	0.24
DR	0.02	DR	0.02	WMR	0.12
RK2	0.00	SK1	0.00	SWP	0.07
SWP	0.00	RK2	0.00	PSM	0.05
LMR	0.00	LMR	0.00	LMR	0.02
PSM	0.00	PSM	0.00	BSM	0.02
BSM	0.00	BSM	0.00	RK2	0.00

표 2의 결과는 그림 2의 네트워크 1에 대한 시뮬레이션 결과에서 표 1에 보인 accepted bandwidth뿐 아니라 accepted request number와 average path hop에 대한 최적 결과 비율을 보이고 있다. 여기서, average path hop의 경우에는 다른 두 값들과는 달리 가장 작은 값과 그 값에 1% 이내에 드는 값을 기준으로 계산된 것이다.

표 2의 accepted bandwidth에 대한 결과를 보면 WKMH, WSP, MUKMH 그리고 SP 알고리즘과 같이 최소 흡 경로에 기초한 알고리즘들의 성능이 좋은 것을 볼 수 있다. 이것은 모든 노드들이 ingress-egress 노드 쌍이 될 수 있는 환경에 대해서 고려하고 부하가 큰 경우에는 가급적 흡 수가 적은 경로를 고려하는 것이 미래의 LSP setup 요구에 대한 interference를 작게 하는 효율적인 방법이 된다는 것을 의미한다고 할 수 있다.

그것은 표 2에서 average path hop에 대한 결과를 통해서 확인할 수 있다. 표 2의 결과를 보면 average path hop에 대한 결과가 accepted

bandwidth의 결과와 거의 일치하는 것을 볼 수 있다. 즉, average path hop이 적은 경로를 선택하는 알고리즘들이 accepted bandwidth 측면에서 유리하다는 것이다.

예외적으로 SKWK2 알고리즘의 성능이 좋게 나오는데 그것은 SKWK2 알고리즘의 성능은 좋지만 SKWK1의 성능은 그 보다 떨어지는 것으로 보아서 widest 기준 보다는 shortest 기준에 더 영향을 받은 것으로 생각된다. 즉, SKW 알고리즘에서는 $K = 2$ 일 때가 $K = 1$ 일 때보다 더 많은 후보 경로들 중에서 최소 흡을 갖는 경로를 선택하기 때문에 $K = 2$ 일 때가 $K = 1$ 일 때 보다 항상 더 작거나 혹은 최소한 동일한 흡을 갖는 경로를 선택할 수 있고 그 결과 accepted bandwidth 성능이 더 좋아지는 것이다. 이것은 표 2의 average path hop 결과로도 확인할 수 있다.

비슷하게 RKMUH 알고리즘의 결과도 설명될 수 있다. RKMUH 알고리즘은 $K = 1$ 일 때가 $K = 2$ 일 때보다 성능이 좋은데 그것은 RKMUH 알고리즘은 후보 경로들 중에서 랜덤하게 하나를 선택하기 때문에 후보 경로가 더 많은 $K = 2$ 일 때가 후보 경로가 적은 $K = 1$ 일 때보다 더 큰 흡을 갖는 경로를 선택할 가능성이 크기 때문이다. 물론, $K = 2$ 인 경우가 후보 경로들의 개수가 더 많고 따라서 흡 수가 작은 경로들이 더 많이 포함될 가능성도 있다. 그러나, RKMUH 알고리즘은 기본적으로 링크 가중치를 링크 사용율(link utilization)로 해서 최단 거리를 갖는 경로를 구하는 방식 즉 경로를 구성하는 링크들의 링크 가중치 합이 최소가 되는 경로를 구하는 것이므로 링크의 가중치가 작을 뿐만 아니라 경로의 흡 수가 작을수록 RMMUH 알고리즘의 최적 경로로 선택된다. 따라서, $K = 2$ 일 때가 $K = 1$ 일 때보다 흡 수가 더 작은 경로들을 포함할 가능성 보다는 오히려 흡 수가 더 큰 경로들을 포함할 가능성이 더 크다고 할 수 있으며 이런 이유로 RKMUHK1의 성능이 RKMUHK2 보다 더 좋아진다고 할 수 있다. 이것 역시 표 2의 average path hop 결과로 확인할 수 있다.

표 2에서 보이는 accepted request number에 대한 결과는 앞에서 살펴본 accepted bandwidth의 경우와 유사하지만 약간의 차이점이 존재하는 것을 알 수 있다. 그것은 이 결과에는 각 LSP의 대역폭이 반영되지 않으므로 대역폭 1인 LSP setup을 10개 받아들인 알고리즘이 대역폭 3인 LSP 4개를 받아들인 알고리즘보다 accepted request number 측면에

서는 더 좋아지기 때문이다.

특기할 만한 것은 DORA 알고리즘으로 대역폭 1인 LSP setup 요구에 대한 성능이 아주 좋기 때문에 accepted bandwidth 성능에 비해서 accepted request number 성능이 매우 높게 나오는 것이라고 설명할 수 있다. WSUMMIRA 알고리즘의 경우에도 대역폭이 작은 LSP setup 요구에 대해서는 어느 정도 효과가 있음을 알 수 있다. 그러나, 그 계산의 복잡도를 고려해 보면 이와 같은 성능 향상이 큰 의미가 있다고는 판단되지 않는다.

표 3은 그림 3의 네트워크 2에 대한 시뮬레이션 결과에서 계산된 accepted bandwidth, accepted request number와 average path hop에 대한 최적 결과 비율을 보이고 있다. 표 2의 결과와 마찬가지로 MUKMH, WKMH 알고리즘과 같이 최소 흡 경로에 기초한 알고리즘들의 성능이 좋다는 것을 알 수 있다.

특기할 만한 것은 RKMUH 알고리즘으로 랜덤한 선택을 통해서 오히려 설정된 LSP들의 average path hop이 작아지게 되었고 그 결과 accepted bandwidth나 accepted request number 성능이 좋아지게 되었다고 설명할 수 있다. 그러나, 이것은 표 2의 결과와 마찬가지로 $K = 1$ 인 경우에 해당되는 것이고 $K = 2$ 인 경우에는 오히려 흡이 큰 경로들을 선택할 가능성이 커져서 성능이 나빠지게 된 것으로 생각된다.

표 4는 그림 4의 네트워크 3에 대한 시뮬레이션 결과에서 계산된 accepted bandwidth, accepted request number와 average path hop에 대한 최적 결과 비율을 보이고 있다. 표 2나 3의 결과와 마찬가지로 WSP, MUKMH 그리고 WKMH 알고리즘과 같이 최소 흡 경로에 기초한 알고리즘들의 성능이 좋다는 것을 알 수 있다. 한편, 표 3에서처럼 RKMUHK1 알고리즘의 성능이 좋은데 그것은 역시 average path hop의 성능이 좋기 때문인 것을 표 4에서 알 수 있다.

3개의 네트워크에 대한 이상의 시뮬레이션 결과를 종합해 보면 첫째로는 MIRA 알고리즘이 계산의 복잡성에 비해서 성능이 그리 뛰어나지 못하다는 점을 확인했고 둘째로는 넓은 범위의 부하를 고려하는 경우 모든 부하에서 가장 좋은 성능을 갖는 단일의 알고리즘이 존재하지 않는다는 것도 알 수 있다.

셋째로는 제안된 알고리즘들이 세 경우 모두에서 일정 수준이상의 성능을 보임을 확인할 수 있다. 특

히, WKMHK1 알고리즘이 세 경우 모두에서 accepted bandwidth 측면이나 accepted request number 측면에서 큰 기복이 없이 항상 일정 수준 이상 - 예로 0.6 이상의 성능을 보임을 알 수 있다. 이것은 WSP 알고리즘의 경우도 비슷한데 결론적으로 경로를 구하는 다양한 기준들 중에서 shortest 중에서 widest 경로를 택하는 방식이 여러 상황에서도 일정 수준 이상의 성능을 낼 수 있는 알고리즘이라고 할 수 있다.

마지막으로 제안된 알고리즘에서 K 값의 영향을 생각해 보면 다음과 같다. 앞에서도 언급하였지만 본 논문에서 제안된 k shortest loopless path 알고리즘은 k개의 shortest loopless path를 구하는 것이 아니라 k번째 수준에 포함되는 모든 경로들을 구하기 때문에 알고리즘에서 $K = 2$ 일 때 구하게 되는 경로들의 수는 $K = 1$ 일 때 구하는 것에 비해서 무척 많아진다. 이런 이유로 $K = 2$ 까지만 시뮬레이션을 수행한 것이다.

이제, K 값에 따른 성능 변화를 살펴보면 먼저, MUKMH 알고리즘의 경우에는 MUKMHK1 알고리즘이 세 경우 모두에서 일정 수준 이상의 성능을 보임을 알 수 있다. MUKMHK2 알고리즘의 경우에는 표 2의 accepted bandwidth의 경우를 제외하고는 모두 성능이 좋게 나오지만 편차가 있는 것을 볼 수 있다. 그것은, 항상 $K = 2$ 일 때가 $K = 1$ 일 때보다 더 큰 흡수를 갖는 후보 경로들을 포함하기 때문에 average path hop 성능이 더 나빠질 수 있는 가능성이 크기 때문이다. 물론, 반대로 더 좋아질 수도 있다. 그러나, 네트워크 토플로지나 부하에 따라서 성능이 가변적인 알고리즘보다는 항상 일정 수준 이상의 성능을 낼 수 있는 것이 더 바람직하다고 생각되며 따라서, 세 경우 모두에서 일정한 성능을 갖는 MUKMHK1 알고리즘이 MUKMHK2 알고리즘 보다 더 실용적이라고 할 수 있을 것이다.

WKMH 알고리즘의 경우에는 $K = 2$ 일 때의 성능이 $K = 1$ 일 때의 성능보다 훨씬 떨어지므로 MUKMH 알고리즘처럼 $K = 1$ 이면 충분하다고 할 수 있다. 이외에도 RKMUH 알고리즘의 경우에도 앞에서 언급한 것처럼 $K = 2$ 일 때의 성능이 나쁘므로 역시 $K = 1$ 이면 충분하다. 마지막으로 SKW 알고리즘의 경우에는 역시 앞에서 살펴본 것처럼 $K = 2$ 일 때의 성능이 좋다. 그러나, SKWK2 알고리즘의 성능은 WKMHK1이나 MUKMHK1 알고리즘의 성능보다 떨어지므로 제안된 방식들 중에

서는 계산량이 가장 적은 WKMHK1과 MUKMHK1 알고리즘이 가장 실용적인 알고리즘이라고 할 수 있다.

IV. 결론

본 논문에서는 MPLS 네트워크에서 LSP 설정에 적용될 수 있는 대역폭 보장 온라인 라우팅 알고리즘들을 제안하였다. 제안된 알고리즘들은 K-shortest loopless path 알고리즘에 기초해서 기존의 WSP와 SWP 알고리즘을 확장한 형태를 갖는다. 기존의 대역폭 보장 온라인 알고리즘들 중에서 성능이 좋다고 알려진 MIRA 계열의 알고리즘들은 전체 노드 쌍 중에서 일부만이 LSP의 ingress-egress 노드 쌍으로 사용되는 경우에는 성능이 좋지만 전체 노드 쌍을 모두 고려할 때는 계산의 복잡도에 비해서 성능이 그리 좋아지지는 않았다. 그것은 minimum interference라는 목적은 최선이지만 실제로 그것을 찾아낼 수 있는 최적의 알고리즘이 제시된 것은 아니기 때문에 모든 노드 쌍을 고려하는 경우에는 제시된 heuristic 방식들이 그리 큰 효과를 내지 못한 것으로 판단된다. 모든 노드 쌍을 고려하고 부하가 큰 경우에는 최소 흡에 기초한 알고리즘들인 WKMH, MUKMH 그리고 WSP 알고리즘의 성능이 좋았다. 이것은 더 많은 시험 네트워크들을 통해서 검증을 해야 할 필요가 있지만 기본적으로는 모든 노드 쌍들이 최소 흡 경로를 사용하려고 하는 것이 heuristic하게 미래의 LSP 설정에 대한 interference를 줄이는 효과를 내기 때문이라고 할 수 있다.

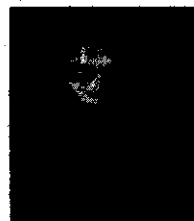
각 링크의 대역폭 및 네트워크 토플로지 정보는 기존의 라우팅 알고리즘을 크게 수정하지 않아도 비교적 정확한 값을 쉽게 얻을 수 있기 때문에 그와 같은 정보만으로 빠르게 대역폭 보장 라우팅을 수행할 수 있는 최소 흡 기반의 알고리즘들이 실용적인 측면에서 우수하다고 결론지을 수 있을 것이다.

특히, 제안된 방식들 중에서 WKMHK1과 MUKMHK1 알고리즘은 계산이 빠르면서도 일정 수준 이상의 성능을 낼 수 있는 방식으로 실용성이 높다고 생각된다. 추후에는 좀더 다양한 형태의 네트워크에서 성능을 평가하고 대역폭 이외의 제한 조건을 갖는 다중 제한 조건 라우팅 알고리즘에 대한 연구가 필요할 것이다.

참 고 문 헌

- [1] E. Rosen, et al., Multiprotocol Label Switching Architecture, RFC 3031, Jan. 2001
- [2] G. Apostolopoulos, et al., QoS Routing Mechanisms and OSPF Extensions, RFC 2676, Aug. 1999
- [3] Zheng Wang, et al., "Quality-of-Service Routing for Supporting Multimedia Applications," *IEEE JSAC*, Vol. 14, No. 7, pp. 1228-1234, Sep. 1996
- [4] Koushik Kar, et al., "Minimum Interference Routing of Bandwidth Guaranteed Tunnels with MPLS Traffic Engineering Applications," *IEEE JSAC*, Vol. 18, No. 12, pp. 2566-2579, Dec. 2000
- [5] W. Szeto, et al., "Dynamic Online Routing Algorithm for MPLS Traffic Engineering," *LNCS 2345*, pp. 936-946, 2002, Springer-Verlag
- [6] Ilias Iliadis, et al., "A New Class of Online Minimum-Interference Routing Algorithms," *LNCS 2345*, pp. 959-971, 2002, Springer-Verlag
- [7] E. Q. V. Martins, et al., "A NEW IMPLEMENTATION OF YEN'S RANKING LOOPLESS PATHS ALGORITHM," Technical Report 01/003, CISUC, Oct. 2000
- [8] R. K. Ahuja, et al., *Network Flows: Theory, Algorithms, and Applications*, Englewood Cliffs, NJ: Prentice-Hall, 1993

이 준호(Jun-Ho Lee) 정회원



1988년 2월: 연세대학교
전자공학과 (공학사)
1990년 8월: 연세대학교
전자공학과 (공학석사)
1996년 3월: 연세대학교
전자공학과 (공학박사)
1998년 4월 ~ 현재: 서울산

업대학교 전자정보공학과 조교수

〈주관심분야〉 컴퓨터통신, 광통신

이 성호(Seong-Ho Lee) 정회원



1980년 2월: 한국항공대학
전자공학과 (공학사)
1989년 2월: 한국과학기술원
전기 및 전자공학과 (공학석사)
1993년 2월: 한국과학기술원
전기 및 전자공학과 (공학박사)
1995년 3월 ~ 현재: 서울산

업대학교 전자정보공학과 부교수

〈주관심분야〉 광통신, 컴퓨터통신